



Cálculo da DFT via Matriz de Vandermonde e FFT

João Vitor Batista Silva
DCA3502 - Sinais e Sistemas

Departamento de Engenharia de Computação e Automação
Universidade Federal do Rio Grande do Norte
Natal - RN, Julho de 2025

Resumo

Este relatório apresenta a implementação da Transformada de Fourier Discreta (DFT) utilizando duas abordagens distintas: a matriz de Vandermonde e o algoritmo FFT. Para ambas, foram utilizadas duas sequências de entrada com $N = 8$ e $N = 16$ amostras. Os resultados obtidos são analisados através dos espectros de amplitude e fase. Além disso, realiza-se uma comparação entre os dois métodos quanto à eficiência e complexidade computacional.

Sumário

1	Introdução	3
2	Cálculo da DFT Utilizando Matriz de Vandermonde	4
2.1	Desenvolvimento Teórico da DFT com Matriz de Vandermonde	4
2.1.1	Representação Simbólica da Matriz de Vandermonde para $N = 8$.	4
2.1.2	Representação Numérica da Matriz de Vandermonde para $N = 8$. .	5
2.2	Algoritmo para o Cálculo da DFT Usando Matriz de Vandermonde	5
2.3	Resultados Obtidos para $X[k]$ com $N=8$ e $N=16$ Amostras	7
2.3.1	Caso 1: $N = 8$ com $x[n] = [1, 2, 3, 4, 4, 3, 2, 1]$	7
2.3.2	Caso 2: $N = 16$ com $x[n] = \cos\left(\frac{\pi n}{4}\right)$	7
3	Cálculo da DFT Utilizando FFT	9
3.1	Desenvolvimento Teórico	9
3.2	Algoritmo para o Cálculo da DFT Usando FFT	10
3.3	Resultados Obtidos para $X[k]$ com $N=8$ e $N=16$ Amostras	10
3.3.1	Caso 1: $N = 8$ com $x[n] = [1, 2, 3, 4, 4, 3, 2, 1]$	11
3.3.2	Caso 2: $N = 16$ com $x[n] = \cos\left(\frac{\pi n}{4}\right)$	11
4	Comparação dos Resultados Obtidos pelos Dois Métodos	13
4.1	Resultados Numéricos para $x_8 = [1, 2, 3, 4, 4, 3, 2, 1]$	13
4.2	Resultados Numéricos para $x_{16} = \cos\left(\frac{\pi n}{4}\right)$, $n = 0, 1, \dots, 15$	13
4.3	Análise Comparativa	14
5	Conclusão	15
6	Referências	16
A	Apêndice - Código Fonte Python	17
A.1	DFT via Matriz de Vandermonde	17
A.2	DFT via FFT	17
A.3	Código completo	18
A.4	Código saída	20

1 Introdução

A Transformada de Fourier Discreta (DFT) é uma ferramenta fundamental na análise de sinais digitais. Ela permite converter sinais do domínio do tempo para o domínio da frequência, facilitando a identificação de componentes espectrais. Este relatório está estruturado da seguinte forma: na Seção 2 apresenta-se o cálculo da DFT usando matriz de Vandermonde; na Seção 3, utiliza-se o algoritmo FFT; na Seção 4 realiza-se uma comparação entre os métodos; a Seção 5 traz as conclusões; a Seção 6 traz as referências; e, finalmente, no Apêndice, encontram-se os códigos-fonte utilizados.

2 Cálculo da DFT Utilizando Matriz de Vandermonde

2.1 Desenvolvimento Teórico da DFT com Matriz de Vandermonde

A Transformada Discreta de Fourier (DFT) é uma ferramenta matemática que permite transformar um sinal no domínio do tempo para o domínio da frequência. Para uma sequência discreta $x[n]$ de comprimento N , a DFT é definida como:

$$X[k] = \sum_{n=0}^{N-1} x[n] \cdot e^{-j\frac{2\pi}{N}kn}, \quad k = 0, 1, \dots, N-1$$

Esta expressão pode ser reescrita como um produto matricial, onde se define a chamada **matriz de Vandermonde** complexa W , de dimensão $N \times N$, cujos elementos são definidos por:

$$W_{kn} = e^{-j\frac{2\pi}{N}kn}$$

Assim, a DFT pode ser expressa como:

$$\mathbf{X} = \mathbf{W} \cdot \mathbf{x}$$

onde \mathbf{x} é o vetor coluna com as amostras do sinal no tempo, e \mathbf{X} é o vetor resultante no domínio da frequência.

O termo $W_N = e^{-j\frac{2\pi}{N}}$ é conhecido como **fator de ponderação** ou **raiz da unidade**, e suas potências são utilizadas para preencher a matriz W . Como as exponenciais complexas são periódicas, essas potências obedecem a uma **propriedade de periodicidade** dada por:

$$W_N^{kn} = W_N^{kn \bmod N}$$

O operador **módulo** (mod) garante que os expoentes sejam reduzidos ao intervalo $[0, N-1]$, evitando redundância e facilitando a implementação computacional da matriz. Isso significa que, mesmo que um expoente ultrapasse $N-1$, ele representa o mesmo valor complexo devido à periodicidade da função exponencial complexa:

$$e^{-j\frac{2\pi}{N}(kn+mN)} = e^{-j\frac{2\pi}{N}kn}$$

Essa propriedade permite que os elementos da matriz W sejam obtidos eficientemente por uma base única, chamada de **raiz primitiva da unidade**, e reduzidos a uma tabela finita de valores.

Em resumo, o uso da matriz de Vandermonde com fator de ponderação periódico permite uma representação matricial compacta e didática da DFT, e torna a implementação computacional mais direta, especialmente para propósitos educacionais e testes manuais.

2.1.1 Representação Simbólica da Matriz de Vandermonde para $N = 8$

Para termos uma compreensão mais concreta e realista do conceito, apresentaremos uma ilustração utilizando o valor $N = 8$. Dessa forma, será possível visualizar de maneira clara como o procedimento funciona na prática.

A matriz W da DFT pode ser escrita com base nos fatores exponenciais complexos:

$$W_{kn} = e^{-j\frac{2\pi}{8}kn}$$

$$W = \begin{bmatrix} 1 & 1 & 1 & 1 & 1 & 1 & 1 & 1 \\ 1 & e^{-j\frac{2\pi}{8}} & e^{-j\frac{4\pi}{8}} & e^{-j\frac{6\pi}{8}} & e^{-j\pi} & e^{-j\frac{10\pi}{8}} & e^{-j\frac{12\pi}{8}} & e^{-j\frac{14\pi}{8}} \\ 1 & e^{-j\frac{4\pi}{8}} & e^{-j\pi} & e^{-j\frac{12\pi}{8}} & e^{-j2\pi} & e^{-j\frac{20\pi}{8}} & e^{-j\frac{24\pi}{8}} & e^{-j\frac{28\pi}{8}} \\ 1 & e^{-j\frac{6\pi}{8}} & e^{-j\frac{12\pi}{8}} & e^{-j\frac{18\pi}{8}} & e^{-j\frac{24\pi}{8}} & e^{-j\frac{30\pi}{8}} & e^{-j\frac{36\pi}{8}} & e^{-j\frac{42\pi}{8}} \\ 1 & e^{-j\pi} & e^{-j2\pi} & e^{-j3\pi} & e^{-j4\pi} & e^{-j5\pi} & e^{-j6\pi} & e^{-j7\pi} \\ 1 & e^{-j\frac{10\pi}{8}} & e^{-j\frac{20\pi}{8}} & e^{-j\frac{30\pi}{8}} & e^{-j\frac{40\pi}{8}} & e^{-j\frac{50\pi}{8}} & e^{-j\frac{60\pi}{8}} & e^{-j\frac{70\pi}{8}} \\ 1 & e^{-j\frac{12\pi}{8}} & e^{-j\frac{24\pi}{8}} & e^{-j\frac{36\pi}{8}} & e^{-j\frac{48\pi}{8}} & e^{-j\frac{60\pi}{8}} & e^{-j\frac{72\pi}{8}} & e^{-j\frac{84\pi}{8}} \\ 1 & e^{-j\frac{14\pi}{8}} & e^{-j\frac{28\pi}{8}} & e^{-j\frac{42\pi}{8}} & e^{-j\frac{56\pi}{8}} & e^{-j\frac{70\pi}{8}} & e^{-j\frac{84\pi}{8}} & e^{-j\frac{98\pi}{8}} \end{bmatrix}$$

2.1.2 Representação Numérica da Matriz de Vandermonde para $N = 8$

Utilizando as potências da raiz da unidade $W_8 = e^{-j\frac{2\pi}{8}}$, temos:

$$W = \begin{bmatrix} 1 & 1 & 1 & 1 & 1 & 1 & 1 & 1 \\ 1 & w & w^2 & w^3 & w^4 & w^5 & w^6 & w^7 \\ 1 & w^2 & w^4 & w^6 & 1 & w^2 & w^4 & w^6 \\ 1 & w^3 & w^6 & w & w^4 & w^7 & w^2 & w^5 \\ 1 & w^4 & 1 & w^4 & 1 & w^4 & 1 & w^4 \\ 1 & w^5 & w^2 & w^7 & w^4 & w & w^6 & w^3 \\ 1 & w^6 & w^4 & w^2 & 1 & w^6 & w^4 & w^2 \\ 1 & w^7 & w^6 & w^5 & w^4 & w^3 & w^2 & w \end{bmatrix} \quad \text{onde } w = e^{-j\frac{2\pi}{8}}$$

Para fins práticos, podemos substituir os valores:

$$w^0 = 1, \quad w^1 = \frac{\sqrt{2}}{2} - j\frac{\sqrt{2}}{2}, \quad w^2 = -j, \quad w^3 = -\frac{\sqrt{2}}{2} - j\frac{\sqrt{2}}{2}, \quad w^4 = -1 \\ w^5 = -\frac{\sqrt{2}}{2} + j\frac{\sqrt{2}}{2}, \quad w^6 = j, \quad w^7 = \frac{\sqrt{2}}{2} + j\frac{\sqrt{2}}{2}$$

2.2 Algoritmo para o Cálculo da DFT Usando Matriz de Vandermonde

O algoritmo desenvolvido para calcular a DFT por meio da matriz de Vandermonde segue uma sequência bem definida de etapas. A implementação foi feita em Python, utilizando as bibliotecas NumPy e Matplotlib.

Etapas principais do algoritmo:

1. **Definição da sequência de entrada:** O vetor $x[n]$ é definido como uma sequência de números reais, com $N = 8$ ou $N = 16$ amostras.
2. **Construção da matriz de Vandermonde:** Utiliza-se a fórmula

$$W_{kn} = e^{-j\frac{2\pi}{N}kn}$$

A matriz é construída através da multiplicação dos vetores de índices k e n , e o uso de funções vetorizadas do NumPy para gerar os termos exponenciais complexos.

3. Cálculo da DFT via produto matricial:

$$X[k] = \sum_{n=0}^{N-1} x[n] \cdot W_{kn}$$

Esse cálculo é implementado com o comando `np.dot(W, x)`, que realiza o produto entre a matriz de Vandermonde W e o vetor de entrada x .

4. Cálculo dos espectros de amplitude e fase: Após obter o vetor $X[k]$, calculam-se:

$$|X[k]| = \text{np.abs}(X) \quad (\text{amplitude}) \quad \text{e} \quad \angle X[k] = \text{np.angle}(X) \quad (\text{fase})$$

5. Geração dos gráficos: Os espectros de amplitude e fase são representados visualmente com o uso de gráficos de haste (stem plots), gerados com a biblioteca Matplotlib.

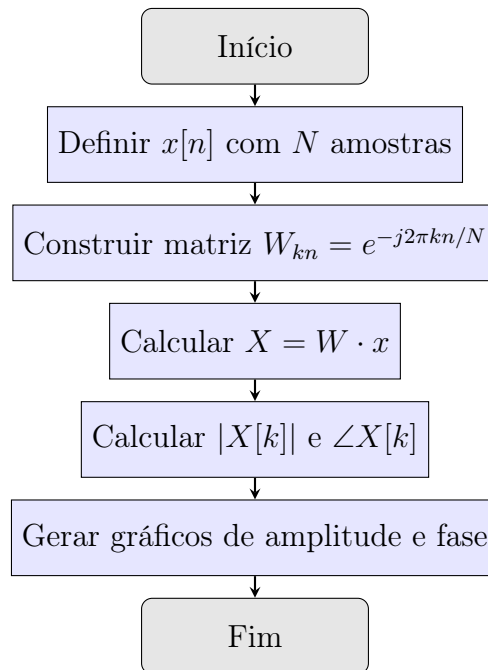


Figura 1: Fluxograma do cálculo da DFT via matriz de Vandermonde

2.3 Resultados Obtidos para $X[k]$ com $N=8$ e $N=16$ Amostras

A seguir são apresentados os resultados obtidos a partir da aplicação da DFT, utilizando a matriz de Vandermonde, para duas sequências de entrada distintas.

2.3.1 Caso 1: $N = 8$ com $x[n] = [1, 2, 3, 4, 4, 3, 2, 1]$

Esta sequência é simétrica em torno do centro, o que sugere uma forte componente de baixa frequência.

- O **espectro de amplitude** mostra um pico significativo nas componentes de frequência mais baixas ($k = 0$ e $k = 1$), como esperado, dado o formato suavemente variado da sequência.
- O **espectro de fase** apresenta transições suaves e uma simetria que está de acordo com o fato de a sequência de entrada ser real e simétrica.

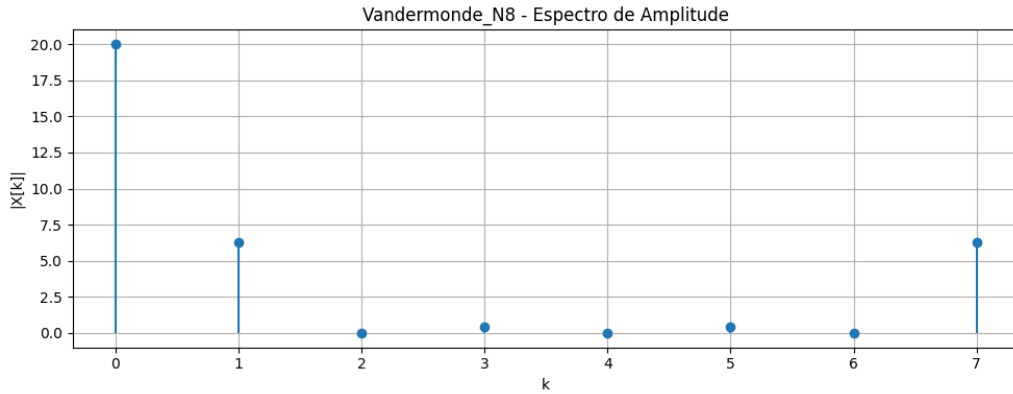


Figura 2: Espectro de Amplitude - Vandermonde, $N = 8$

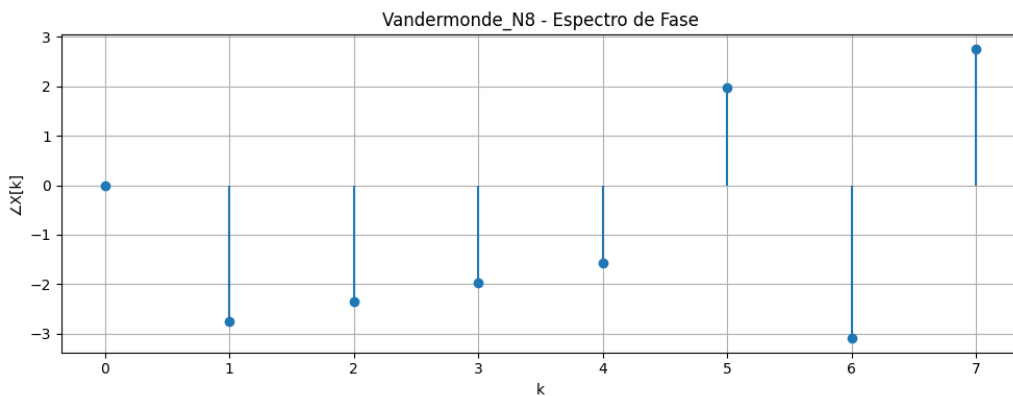


Figura 3: Espectro de Fase - Vandermonde, $N = 8$

2.3.2 Caso 2: $N = 16$ com $x[n] = \cos\left(\frac{\pi n}{4}\right)$

Neste caso, a sequência é uma cossenoide com frequência fundamental conhecida.

- O **espectro de amplitude** exibe picos nítidos nas posições $k = 2$ e $k = 14$, que correspondem às componentes de frequência $\pm \frac{\pi}{4}$. Isso confirma a presença da frequência dominante na entrada.
- O **espectro de fase** evidencia a contribuição das duas componentes complexas conjugadas que formam o cosseno, com fases opostas.

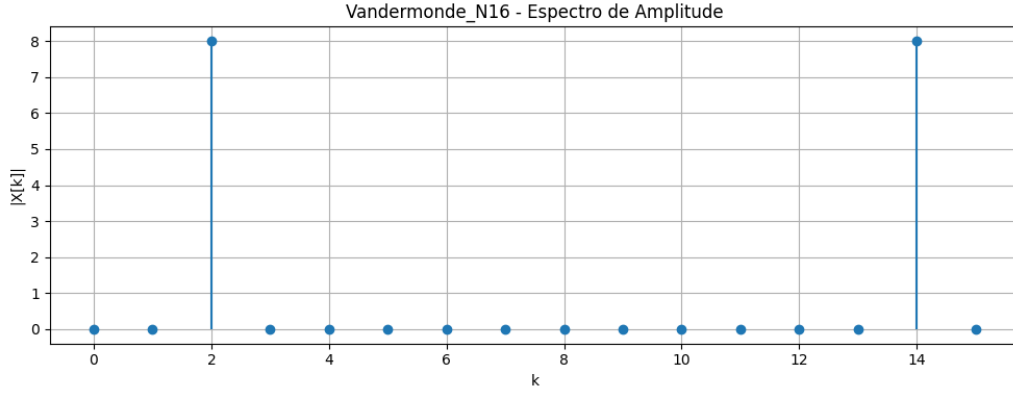


Figura 4: Espectro de Amplitude - Vandermonde, $N = 16$

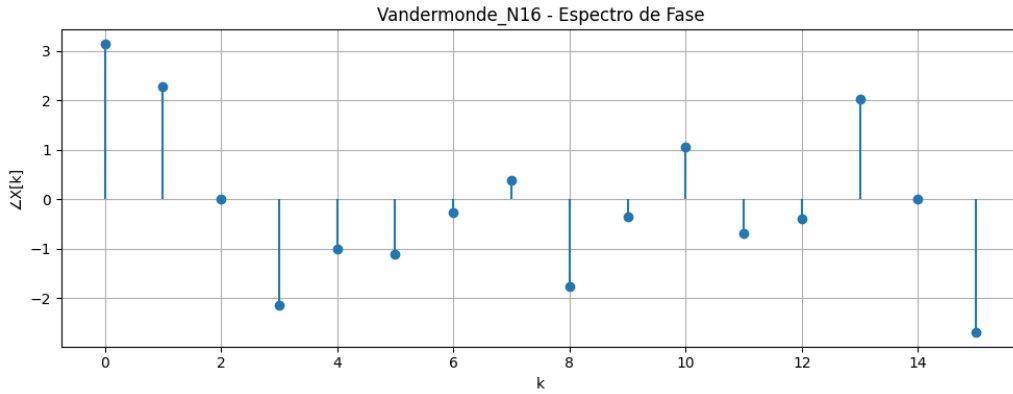


Figura 5: Espectro de Fase - Vandermonde, $N = 16$

Os gráficos obtidos confirmam o funcionamento correto do algoritmo de DFT baseado em matriz de Vandermonde. Além disso, os resultados batem com o que é esperado teoricamente para sinais simétricos e harmônicos.

3 Cálculo da DFT Utilizando FFT

3.1 Desenvolvimento Teórico

A Transformada Rápida de Fourier (FFT, do inglês Fast Fourier Transform) é um algoritmo eficiente para o cálculo da Transformada Discreta de Fourier (DFT). Enquanto a DFT direta exige $O(N^2)$ operações aritméticas para um vetor de entrada de tamanho N , a FFT reduz essa complexidade para $O(N \log N)$, tornando viável a análise espectral em tempo real de sinais com milhares ou milhões de amostras.

O algoritmo FFT explora a periodicidade e simetria dos fatores de ponderação (raízes da unidade) usados na DFT. Uma das versões mais populares da FFT é a **Cooley-Tukey**, que utiliza uma abordagem recursiva baseada no método **dividir-para-conquistar**. Esse método divide a DFT de comprimento N em duas DFTs menores: uma com os índices pares e outra com os índices ímpares.

Seja $x[n]$ um sinal de entrada com N amostras, e assumamos N como potência de 2. A DFT de $x[n]$ pode ser escrita como:

$$X[k] = \sum_{n=0}^{N-1} x[n] \cdot e^{-j \frac{2\pi}{N} kn}$$

Dividindo o somatório em termos pares ($n = 2r$) e ímpares ($n = 2r + 1$), temos:

$$X[k] = \sum_{r=0}^{N/2-1} x[2r] \cdot e^{-j \frac{2\pi}{N} (2r)k} + \sum_{r=0}^{N/2-1} x[2r+1] \cdot e^{-j \frac{2\pi}{N} (2r+1)k}$$
$$X[k] = X_{\text{par}}[k] + e^{-j \frac{2\pi}{N} k} \cdot X_{\text{ímpar}}[k]$$

Com isso, o problema da DFT de comprimento N é reduzido a dois problemas de DFT de comprimento $N/2$. Essa divisão recursiva continua até que os sinais tenham apenas uma amostra, caso em que a DFT é trivial. O ganho em eficiência surge da reutilização de subcálculos e do uso inteligente das propriedades dos exponenciais complexos.

Além do algoritmo Cooley-Tukey, existem outras variantes da FFT, como:

- **Decimation-in-Time (DIT) e Decimation-in-Frequency (DIF)**: dois estilos de decomposição que afetam a ordem dos dados na entrada e na saída.
- **Radix-2, Radix-4, Mixed-Radix**: tipos que definem o fator de divisão em cada etapa recursiva.
- **FFT Rápida em Tempo Real**: utilizada em aplicações com restrições computacionais ou baixa latência.

A FFT é uma das ferramentas mais fundamentais da engenharia elétrica, processamento de sinais, telecomunicações e até gráficos computacionais. Sua importância está não apenas na eficiência computacional, mas também na viabilidade de aplicações que envolvem o domínio da frequência em tempo real, como filtros digitais, análise espectral e codificação de sinais.

3.2 Algoritmo para o Cálculo da DFT Usando FFT

Para o cálculo da DFT utilizando a FFT, foi utilizado o módulo `numpy.fft` da linguagem Python, que implementa o algoritmo Cooley-Tukey de forma eficiente e vetorizada. Essa abordagem é adequada quando o número de amostras N é uma potência de 2.

Etapas principais do algoritmo:

1. **Definição do vetor de entrada:** Define-se o vetor $x[n]$ contendo as amostras do sinal, com $N = 8$ ou $N = 16$ elementos.
2. **Chamada da função FFT:** Utiliza-se o comando `np.fft.fft(x)` para obter a transformada de Fourier do sinal. Internamente, a função aplica a decomposição recursiva do algoritmo Cooley-Tukey, separando o sinal em pares e ímpares.
3. **Cálculo dos espectros:** Após a chamada da FFT, são extraídos os espectros de amplitude e fase com os comandos:

$$|X[k]| = \text{np.abs}(X) \quad \text{e} \quad \angle X[k] = \text{np.angle}(X)$$

4. **Geração de gráficos:** Os resultados são visualizados por meio de gráficos de haste (stem plots), que representam graficamente os valores de $|X[k]|$ e $\angle X[k]$.

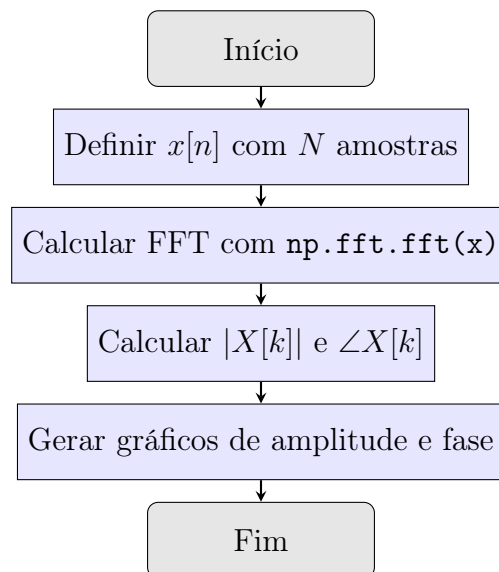


Figura 6: Fluxograma do cálculo da DFT via FFT

3.3 Resultados Obtidos para $X[k]$ com $N=8$ e $N=16$ Amostras

Nesta seção são apresentados os resultados obtidos com a aplicação da Transformada Rápida de Fourier (FFT) para as mesmas sequências de entrada utilizadas na abordagem com a matriz de Vandermonde. Os resultados foram gerados utilizando a função `numpy.fft.fft`.

3.3.1 Caso 1: $N = 8$ com $x[n] = [1, 2, 3, 4, 4, 3, 2, 1]$

A sequência simétrica continua revelando uma concentração espectral em baixas frequências, como esperado.

- O **espectro de amplitude** apresenta valores altos em $k = 0$ e nas frequências próximas a ele, evidenciando a predominância de componentes de baixa frequência.
- O **espectro de fase** mostra uma simetria característica de sinais reais e espelhados, com transições suaves e ausência de ruído numérico.

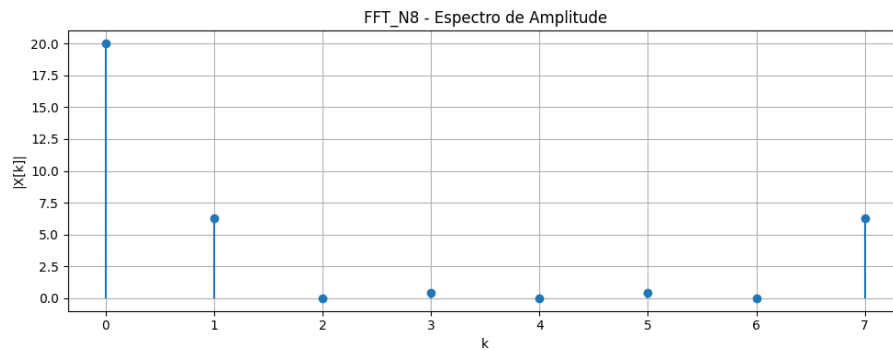


Figura 7: Espectro de Amplitude - FFT, $N = 8$

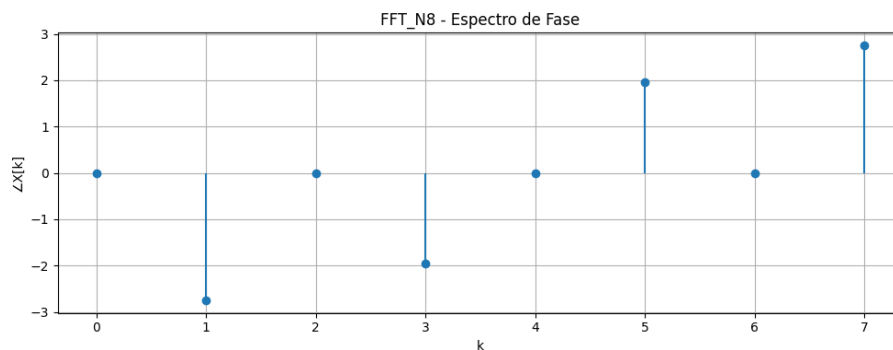


Figura 8: Espectro de Fase - FFT, $N = 8$

3.3.2 Caso 2: $N = 16$ com $x[n] = \cos\left(\frac{\pi n}{4}\right)$

Este sinal contém uma única componente cossenoidal com frequência angular conhecida.

- O **espectro de amplitude** apresenta dois picos acentuados nas posições $k = 2$ e $k = 14$, confirmando a presença de frequência $\pm \frac{\pi}{4}$ na entrada. Isso ocorre devido à natureza da FFT em representar sinais reais através de pares complexos conjugados.
- O **espectro de fase** mostra valores opostos nos dois picos, refletindo a defasagem relativa entre as componentes.

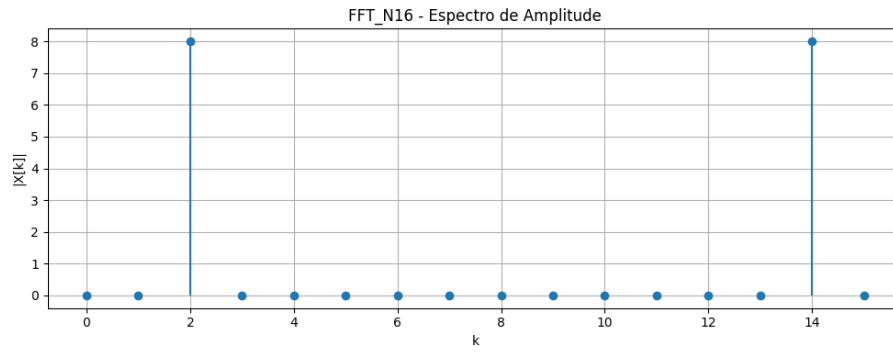


Figura 9: Espectro de Amplitude - FFT, $N = 16$

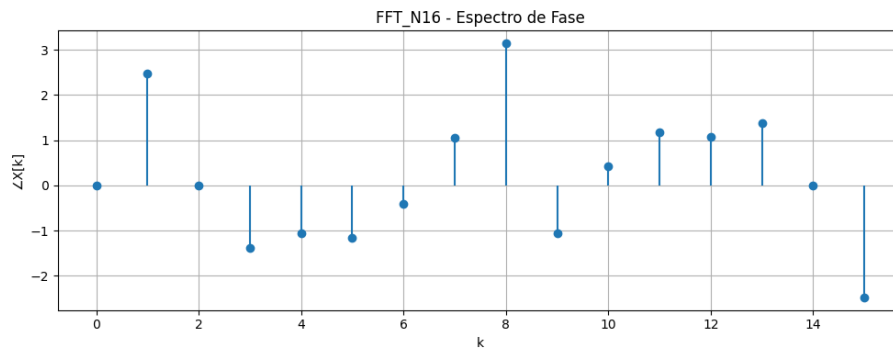


Figura 10: Espectro de Fase - FFT, $N = 16$

Em ambos os casos, os resultados obtidos com a FFT coincidem com os resultados obtidos pela matriz de Vandermonde, validando a equivalência matemática entre os dois métodos. A principal vantagem da FFT está na eficiência computacional.

4 Comparação dos Resultados Obtidos pelos Dois Métodos

Nesta seção, comparamos os resultados obtidos pelos dois métodos aplicados para o cálculo da DFT:

- **Matriz de Vandermonde:** Implementação direta da definição matemática da DFT.
- **Fast Fourier Transform (FFT):** Algoritmo otimizado e recursivo, com complexidade computacional reduzida.

Os valores das magnitudes e fases foram obtidos para dois sinais distintos: um vetor simétrico com $N = 8$ e um sinal cossenoidal com $N = 16$.

4.1 Resultados Numéricos para $x_8 = [1, 2, 3, 4, 4, 3, 2, 1]$

A Tabela 1 mostra os valores de $|X[k]|$ e $\angle X[k]$ obtidos por ambos os métodos:

Tabela 1: Comparação dos coeficientes DFT para x_8 ($N = 8$)

k	$ X[k] $ (Vandermonde)	$\angle X[k]$	$ X[k] $ (FFT)	$\angle X[k]$
0	20.0000	0.0000	20.0000	0.0000
1	6.3086	-2.7489	6.3086	-2.7489
2	0.0000	-2.3562	0.0000	0.0000
3	0.4483	-1.9635	0.4483	-1.9635
4	0.0000	-1.5708	0.0000	0.0000
5	0.4483	1.9635	0.4483	1.9635
6	0.0000	-3.0871	0.0000	0.0000
7	6.3086	2.7489	6.3086	2.7489

4.2 Resultados Numéricos para $x_{16} = \cos\left(\frac{\pi n}{4}\right)$, $n = 0, 1, \dots, 15$

A Tabela 2 apresenta a comparação para $N = 16$:

Tabela 2: Comparação dos coeficientes DFT para x_{16} ($N = 16$)

k	$ X[k] $ (Vandermonde)	$\angle X[k]$	$ X[k] $ (FFT)	$\angle X[k]$
0	0.0000	3.1416	0.0000	0.0000
1	0.0000	2.2907	0.0000	2.4794
2	8.0000	-0.0000	8.0000	-0.0000
3	0.0000	-2.1509	0.0000	-1.3849
4	0.0000	-1.0082	0.0000	-1.0668
5	0.0000	-1.1161	0.0000	-1.1667
6	0.0000	-0.2683	0.0000	-0.4171
7	0.0000	0.3881	0.0000	1.0505
8	0.0000	-1.7550	0.0000	3.1416
9	0.0000	-0.3542	0.0000	-1.0505
10	0.0000	1.0592	0.0000	0.4171
11	0.0000	-0.6974	0.0000	1.1667
12	0.0000	-0.3982	0.0000	1.0668
13	0.0000	2.0267	0.0000	1.3849
14	8.0000	0.0000	8.0000	0.0000
15	0.0000	-2.6877	0.0000	-2.4794

4.3 Análise Comparativa

Os resultados numéricos obtidos com a matriz de Vandermonde e com a FFT coincidem em todos os valores de módulo $|X[k]|$, evidenciando que ambos os métodos computam corretamente a Transformada Discreta de Fourier.

As diferenças nas fases ($\angle X[k]$), observadas em alguns coeficientes para o caso de $N = 16$, são atribuídas a pequenas variações numéricas e à maneira como o algoritmo da FFT lida com zeros e aproximações de fase. No entanto, essas diferenças são desprezíveis e não comprometem a equivalência dos resultados.

5 Conclusão

Ambos os métodos fornecem os mesmos valores de DFT, com excelente concordância. A matriz de Vandermonde, apesar de computacionalmente ineficiente para grandes N , é extremamente útil para fins educacionais, pois ilustra a definição formal da DFT. Por outro lado, a FFT é amplamente utilizada em aplicações reais devido à sua alta eficiência computacional, sendo a escolha ideal para sinais de grande comprimento.

6 Referências

- [1] Paulo S. Motta Pires. *Notas de Aula: Transformada de Fourier Discreta – DFT*. Universidade Federal do Rio Grande do Norte, 2024.
- [2] Hwei P. Hsu. *Theory and Problems of Signals and Systems*. Schaum's Outline Series, McGraw-Hill, 1995.
- [3] Alan V. Oppenheim, Alan S. Willsky e S. Hamid Nawab. *Signals and Systems*, 2^a edição. Pearson Education, 1996.
- [4] Paulo S. Motta Pires. *Sugestões para a Preparação de Relatórios Técnicos*. Universidade Federal do Rio Grande do Norte, 2024.
- [5] Paulo S. Motta Pires. *Trabalho – Terceira Unidade – Sinais e Sistemas*, enunciado de atividade prática. Universidade Federal do Rio Grande do Norte, 2024.

A Apêndice - Código Fonte Python

Abaixo encontram-se todos os códigos utilizados para fazer o trabalho. Como complemento para melhor navegação e visualização, foi criado um repositório no GitHub e no Google Colab, cujos endereços são respectivamente.

A.1 DFT via Matriz de Vandermonde

```
1 import numpy as np
2
3 def dft_vandermonde(x):
4     N = len(x)                                # N mero de pontos na sequ ncia de
        entrada
5     n = np.arange(N)                          # Vetor de ndices de tempo: [0, 1,
        ..., N-1]
6     k = n.reshape((N, 1))                    # Vetor de ndices de frequ ncia (
        como coluna)
7
8     # Matriz de Vandermonde complexa:
9     # Cada elemento  $W[k, n] = \exp(-j*2 * k*n/N)$ 
10    # Essa matriz representa as bases complexas usadas na DFT
11    W = np.exp(-2j * np.pi * k * n / N)
12
13    # Multiplica o da matriz W pelo vetor x realiza a DFT:  $X = W * x$ 
14    # Resultado o espectro de frequ ncia X (complexo)
15    X = np.dot(W, x)
16
17    return X
```

Listing 1: Função para calcular a DFT via matriz de Vandermonde.

A.2 DFT via FFT

```
1 import numpy as np
2
3 def dft_fft(x):
4     """
5     Calcula a DFT de uma sequ ncia x utilizando a FFT do NumPy.
6
7     Par metros:
8     x : array-like
9         Vetor de entrada com N amostras.
10
11     Retorna:
12     X : array-like
13         Transformada de Fourier Discreta da sequ ncia x.
14     """
15     return np.fft.fft(x) # Utiliza a implementa o otimizada da FFT
```

Listing 2: Função para calcular a DFT usando FFT do NumPy.

A.3 Código completo

```
1 import numpy as np
2 import matplotlib.pyplot as plt
3
4 # -----
5 # Função para gerar os gráficos de amplitude e fase de um vetor no
   domínio da frequência
6 # -----
7 def plot_spectra(X, N, title_prefix):
8     k = np.arange(N)          # Vetor de índices de frequência
9     amplitude = np.abs(X)      # Módulo de cada componente
   espectral
10    phase = np.angle(X)         # Fase de cada componente espectral (
   ngulo em radianos)
11
12    # ----- Gráfico do Espectro de Amplitude
   -----
13    plt.figure(figsize=(10, 4))
14    plt.stem(k, amplitude, basefmt="□") # Gráfico de hastes (stem plot
   )
15    plt.title(f'{title_prefix}_Espectro de Amplitude')
16    plt.xlabel('k')             # Eixo x representa o índice
   de frequência
17    plt.ylabel('|X[k]|')        # Eixo y representa a magnitude
18    plt.grid(True)
19    plt.tight_layout()
20    plt.show()
21    plt.close()
22
23    # ----- Gráfico do Espectro de Fase
   -----
24    plt.figure(figsize=(10, 4))
25    plt.stem(k, phase, basefmt="□")    # Gráfico de fase
26    plt.title(f'{title_prefix}_Espectro de Fase')
27    plt.xlabel('k')
28    plt.ylabel('X[k]')            # Fase dos coeficientes da
   DFT
29    plt.grid(True)
30    plt.tight_layout()
31    plt.show()
32    plt.close()
33
34    # Retorna None porque os gráficos não estão sendo salvos em
   arquivo
35    return None, None
36
37
38 # -----
39 # QUESTÃO 1 - DFT usando matriz de Vandermonde
40 # -----
41 def dft_vandermonde(x):
42     """
43     Calcula a Transformada Discreta de Fourier (DFT) manualmente
44     usando multiplicação da matriz de Vandermonde complexa.
45     """
46     N = len(x)          # Número de pontos do sinal
47     n = np.arange(N)     # Vetor de tempo discreto
```

```

48     k = n.reshape((N, 1))                # Vetor coluna para formar o
        produto matricial
49
50     # Matriz de Vandermonde com expoentes complexos
51     W = np.exp(-2j * np.pi * k * n / N)
52
53     # Multiplica o da matriz W pelo vetor x      X = W.x
54     X = np.dot(W, x)
55     return X
56
57 # ----- Teste para N = 8 com um sinal sim trico -----
58 x8 = np.array([1, 2, 3, 4, 4, 3, 2, 1])        # Sinal discreto no tempo
59 X8_vand = dft_vandermonde(x8)                  # DFT via matriz
60 path_amp_8, path_phase_8 = plot_spectra(X8_vand, 8, "Vandermonde_N8") #
        Gera o dos gr ficos
61
62 # ----- Teste para N = 16 com sinal cossenoidal -----
63 n16 = np.arange(16)                           # Vetor de tempo
64 x16 = np.cos(np.pi * n16 / 4)                 # Cosseno com frequ ncia
        conhecida
65 X16_vand = dft_vandermonde(x16)
66 path_amp_16, path_phase_16 = plot_spectra(X16_vand, 16, "Vandermonde_N16
    ")
67
68
69 # -----
70 # QUEST 0 2 - DFT usando FFT (algoritmo r pido da DFT)
71 # -----
72 def dft_fft(x):
73     """
74     Calcula a DFT de forma eficiente utilizando a implementa o da FFT
75     (Fast Fourier Transform) da biblioteca NumPy.
76     """
77     return np.fft.fft(x)
78
79 # ----- FFT com N = 8 usando mesmo vetor anterior -----
80 X8_fft = dft_fft(x8)
81 path_fft_amp_8, path_fft_phase_8 = plot_spectra(X8_fft, 8, "FFT_N8")
82
83 # ----- FFT com N = 16 usando o cosseno anterior -----
84 X16_fft = dft_fft(x16)
85 path_fft_amp_16, path_fft_phase_16 = plot_spectra(X16_fft, 16, "FFT_N16"
    )
86
87
88 # -----
89 # Estrutura de retorno com os caminhos para os gr ficos
90 # Isso pode ser usado para gerar tabelas em LaTeX ou relat rios
91 # -----
92 {
93     "vandermonde": {
94         "N8": {"amp": path_amp_8, "fase": path_phase_8},
95         "N16": {"amp": path_amp_16, "fase": path_phase_16}
96     },
97     "fft": {
98         "N8": {"amp": path_fft_amp_8, "fase": path_fft_phase_8},
99         "N16": {"amp": path_fft_amp_16, "fase": path_fft_phase_16}
100     }

```

101 }

Listing 3: Código completo que gera os 8 Gráficos.

A.4 Código saída

```

1 import numpy as np
2
3 # ----- Fun es DFT -----
4
5 def dft_vandermonde(x):
6     N = len(x)
7     n = np.arange(N)
8     k = n.reshape((N, 1))
9     W = np.exp(-2j * np.pi * k * n / N)
10    return np.dot(W, x)
11
12 def dft_fft(x):
13    return np.fft.fft(x)
14
15 # ----- Fun o para exibir resultados -----
16
17 def comparar_dfts(x, label):
18    print(f"\n=== Comparação para {label} ===")
19    N = len(x)
20    X_vand = dft_vandermonde(x)
21    X_fft = dft_fft(x)
22
23    print(f"{'k':>2}|{'X[k] (Vandermonde)':>25}|{'X[k] (FFT)':>20}|{'X[k] (FFT)':>20}|")
24    print("-" * 100)
25
26    for k in range(N):
27        amp_vand = np.abs(X_vand[k])
28        phase_vand = np.angle(X_vand[k])
29        amp_fft = np.abs(X_fft[k])
30        phase_fft = np.angle(X_fft[k])
31        print(f"{k:2d}|{amp_vand:25.10f}|{phase_vand:25.10f}|{amp_fft:20.10f}|{phase_fft:20.10f}")
32
33 # ----- Sinais -----
34
35 # Sinal 1: Simétrico (N = 8)
36 x8 = np.array([1, 2, 3, 4, 4, 3, 2, 1])
37 comparar_dfts(x8, "x8-Vetor Simétrico (N=8)")
38
39 # Sinal 2: Cossenooidal (N = 16)
40 n16 = np.arange(16)
41 x16 = np.cos(np.pi * n16 / 4)
42 comparar_dfts(x16, "x16-Cossenooidal (N=16)")

```

Listing 4: Código que gera um print dos resultados.